

МИНИСТЕРСТВО НЕФТЯНОЙ ПРОМЫШЛЕННОСТИ
ВНИИСПТнефть

РУКОВОДЯЩИЙ ДОКУМЕНТ

МЕТОДИКА
РАСЧЕТА ПРЕДЕЛЬНО ДОПУСТИМЫХ
ДАВЛЕНИЙ В ПОДВОДНЫХ ПЕРЕХОДАХ
ЭКСПЛУАТИРУЕМЫХ НЕФТЕПРОВОДОВ
РД 39 - 30 - 1090 - 84

1985

Министерство нефтяной промышленности
ВСЕСОЮЗНЫЙ НАУЧНО-ИССЛЕДОВАТЕЛЬСКИЙ ИНСТИТУТ ПО СБОРУ,
ПОДГОТОВКЕ И ТРАНСПОРТУ НЕФТИ И НЕФТЕПРОДУКТОВ
(ВНИИСПГнефть)

Утвержден
начальником управления
Д.М.Байдиковым
12.04.84

РУКОВОДЯЩИЙ ДОКУМЕНТ

М Е Т О Д И К А
РАСЧЕТА ПРЕДЕЛЬНО ДОПУСТИМЫХ ДАВЛЕНИЙ
В ПОДВОДНЫХ ПЕРЕХОДАХ ЭКСПЛУАТИРУЕМЫХ
НЕФТЕПРОВОДОВ

РД 39-30-1090-84

Уфа-1985

Настоящая методика предназначена для работников, занимающихся эксплуатацией магистральных трубопроводов, и позволяет определить предельно допустимое давление нефти с учетом режима эксплуатации подводного нефтепровода и фактического изогнутого положения участков перехода.

Документ разработан Всесоюзным научно-исследовательским институтом по сбору, подготовке и транспорту нефти и нефтепродуктов совместно с Тюменским индустриальным институтом имени Ленинского комсомола.

Ответственные исполнители от ВНИИСГТнефть: к.т.н. Хайруллин Ф.Г., к.т.н. Идрисов Р.Х.; от Тюменского института имени Ленинского комсомола: к.т.н. Колосова Н.М., к.т.н. Дорошенко А.А.

Исполнители: Дорошенко С.И., Богданова А.Н., Осинова Л.А., Пикигина Л.Г., Яблонский Д.П., Ганова Н.М., Комхева Н.А.

РУКОВОДЯЩИЙ ДОКУМЕНТ
Методика расчета предельно допустимых давлений
в подводных переходах эксплуатируемых нефтепроводов
РД 39-30-1090-84

Вводится впервые

Приказом Главтранснефти № 86 от 26.06.85 г.
срок введения установлен с 01.07.85 г.
Срок действия до 01.07.90 г.

Настоящая методика предназначена для работников, эксплуатирующих магистральные нефтепроводы, и служит для расчета предельно допустимых давлений в подводных нефтепроводах.

I. ОБЩИЕ ПОЛОЖЕНИЯ

I.1. Согласно РД 39-30-117-78 "Правила технической эксплуатации магистральных нефтепроводов" /1/ все участки нефтепроводов, в том числе подводных переходов, должны соответствовать проектному положению, плотно опираться на основание при любом реально возможном режиме эксплуатации.

I.2. Основой расчета предельно допустимых давлений в эксплуатируемых подводных нефтепроводах является исложение СНиП П-45-75 /2/.

I.3. С целью обеспечения надежности работы подводных переходов через реки необходимо вести контроль за деформацией русловых процессов и относительным положением трубопровода /1/.

I.4. Обследование подводной части перехода должно производиться в соответствии с "Инструкцией по контролю за строительст-

вом, приемке и эксплуатации подводных переходов магистральных нефте- и продуктопроводов" по утвержденному графику. Результаты обследования заносятся в паспорт или формуляр подводного перехода и дают возможность оценить состояние подводных переходов. Для оценки напряженного состояния подводных нефтепроводов таких данных недостаточно.

I.5. Настоящая методика позволяет определить предельно допустимое давление в конкретных подводных нефтепроводах с учетом режима эксплуатации нефтепровода и фактически изогнутого положения участков перехода.

Методика применяется для участков подводных нефтепроводов, занимающих стабильное положение в закрытой траншее, а также для размытых и провисших участков подводных нефтепроводов.

I.6. Для участков подводных нефтепроводов, занимающих проектное положение, по ряду факторов, имеющих перенапряженное состояние, а также для размытых и провисших участков подводных нефтепроводов должны быть определены все нагрузки и напряжения, возникающие в подводном нефтепроводе.

2. НАГРУЗКИ И НАПРЯЖЕНИЯ В ЭКСПЛУАТИРУЕМОМ ПОДВОДНОМ НЕФТЕПРОВОДЕ

2.1. Нормативное давление в нефтепроводах, в том числе на участках подводных переходов устанавливается проектом. Однако при эксплуатации подводных переходов нефтепроводов в ряде случаев возникает необходимость определять предельно допустимое давление в трубопроводе.

Это необходимо в случаях отступления от проектного профиля при прокладке, при продолжительной эксплуатации подводных переходов, при необходимости повышения давления в нефтепроводе до

паспортного, появления размытых и провисших участков на подводном переходе, в случае ремонта подводных переходов без остановки перекачки.

2.2. Согласно СНиП П-45-75 нормативный температурный перепад в металле стенок труб подводного перехода следует принимать равным разнице между максимально возможной температурой в процессе эксплуатации и фактической температурой, при которой фиксируется расчетная схема подводного нефтепровода.

В приведенных ниже таблицах I, 2, 3, 4, 5 температурный перепад принят равным $\Delta t = +40^{\circ}\text{C}$.

2.3. Кольцевые напряжения в подводных нефтепроводах от расчетного внутреннего давления равны :

$$\sigma_{\text{к}} = \frac{\pi \cdot P D_i}{2\delta}, \text{ МПа} \quad (1)$$

π - коэффициент перегрузки рабочего давления (нормативного) табл. I2 /2/ ;

P - рабочее (нормативное) давление, МПа ;

D_i - внутренний диаметр, м ;

δ -名义альная толщина стенки трубы , м.

2.4. Нормативное сопротивление R_z'' растяжению (сжатию) металла труб и сварных соединений следует принимать равным минимальному значению предела текучести σ_t по государственным стандартам и техническим условиям на поставку труб.

2.5. Расчетные продольные напряжения в стенах труб, возникающие от действия температурного перепада и внутреннего давления равны :

$$\sigma_{\text{пр}} = \alpha \Delta t E + \mu \sigma_{\text{к}}, \text{ МПа} \quad (2)$$

α - коэффициент линейного расширения металла трубы :

E - модуль упругости материала трубы, $2,1 \times 10^5$ МПа;

μ - коэффициент поперечной деформации, 0,3.

2.6. Напряжения, возникающие в подводном нефтепроводе при упругом изгибе:

$$\sigma_{\text{изг}} = \frac{ED_4}{2\rho}, \text{ МПа} \quad (3)$$

или

$$\sigma_{\text{изг}} = \frac{ED_4}{2} y''(x), \text{ МПа} \quad (4)$$

D - наружный диаметр подводного трубопровода, м;

ρ - проектный радиус упругого изгиба, м;

y' - найденные по методу регуляризации вторые производные функции прогиба.

2.7. Для участков подводных нефтепроводов, занимающих проектное положение, напряжение изгиба определяется по проектному радиусу согласно СНиП П-45-75.

Если разрыв участков незначительный и труба плотно прилегает к основанию, то напряжение изгиба также определяется по проектному радиусу. В случае, если фактическое состояние участка подводного нефтепровода не совпадает с проектным профилем, то напряжение изгиба следует определять по формуле 4. При этом y'' определяется путем восстановления по массиву высотных отметок $\{x_i, y_i\}_n$:

y_i - высотные отметки по верхней образующей трубы, м;

x_i - шаг замеров по верхней образующей трубы, м;

x - принимается равным $10 D_H$.

Программы для расчета $y'', \sigma_{\text{изг}}$ на ЭВМ прилагаются. Пример расчета и порядок расчета напряжений изгиба методом регуляризации приводится подробно в /3/ "Методика расчета на прочность участков газопроводов по замерам высотного положения оси".

2.8. При наличии значительных провисших участков подводных, нефтепроводов и больших скоростях водного потока в стенах труб дополнительно возникает напряжение от действия вертикальной и горизонтальной составляющей гидродинамической силы, а также в связи с дополнительным изгибом трубопровода из-за его отрицательной плавучести.

В расчетных таблицах I, 2, 3, 4, 5 такое дополнительное напряжение не учитывается, так как на подводных переходах УМНЗ и СЭС данные скорости водного потока очень малы.

2.9. В целом в эксплуатируемом подводном нефтепроводе возникают напряжения от действия внутреннего давления нефти, температурного перепада, упругого изгиба.

3. РАСЧЕТ ПРЕДЕЛЬНО ДОПУСТИМОГО ВНУТРЕННЕГО ДАВЛЕНИЯ

3.1. Согласно "Правилам технической эксплуатации магистральных нефтепроводов" /1/ подводные переходы нефтепроводов не должны иметь размытых и провисающих участков. Однако при эксплуатации подводных переходов такие участки возникают. Для решения вопроса о дальнейшей эксплуатации таких подводных переходов нефтепроводов или для назначения сроков ремонта и выбора технологии ремонта должны быть выполнены расчеты фактического напряженного состояния этих участков подводных нефтепроводов.

3.2. Проверка деформаций подводных нефтепроводов выполняется согласно разд. 8 СНиП II-45-75 из условия:

$$\sigma_{\text{ср}}''(\rho) \leq \gamma_s \frac{C}{K_x} R_z'' = \sigma_k(\rho), \quad (5)$$

$\sigma_{\text{ср}}''$ - максимальные суммарные продольные напряжения в трубопроводе от нормативных нагрузок и воздействий с учетом коэффициента сочетаний, МПа;

$\sigma_{kц}''$ - кольцевые напряжения от нормативного давления, МПа ;

C - коэффициент, зависящий от категории участка трубопровода /2/ ;

K_H - коэффициент надежности ;

ψ_3 - коэффициент, учитывающий двухосное напряженное состояние металла труб, равен

$$\psi_3 = \sqrt{1-0.75\left(\frac{K_H \sigma_{kц}''}{2R_2''}\right)^2} - 0.5 \frac{K_H \sigma_{kц}''}{CR_2''} \quad (6)$$

$$\sigma_{kц}'' = \frac{PD_6}{2\delta} \quad (7)$$

Максимальные суммарные продольные напряжения в трубопроводе от нормативных нагрузок и воздействий:

$$\sigma_{np}'' = \sigma_t'' + \mu \sigma_{kц}'' \pm \sigma_{ше}'' , \text{ МПа} \quad (8)$$

$$\sigma_{np}'' = -\alpha \Delta t E + \mu \sigma_{kц}'' - \sigma_{ше}'' \quad (9)$$

R_2'' - нормативное сопротивление металла трубопровода, МПа.

3.3. Для определения предельно допустимого внутреннего давления удобно строить графики зависимости продольных напряжений $\sigma_{np}''(P)$ и допустимых напряжений $[\sigma_{kp}]$ от внутреннего давления, находим области, в которых удовлетворяется условие деформации

$\sigma_{np}'' < [\sigma]$, $\sigma_{np}'' > [\sigma]$. Точка разграничения этих областей дает максимальное внутреннее давление при эксплуатации участков подводного перехода, соответствует предельно допустимому внутреннему давлению при данном профиле.

На рис. I построены указанные графики и найдено предельно допустимое давление, равное 2,8 МПа.

Для практического пользования выполнены расчетные таблицы I, 2, 3, 4, 5 для всех диаметров нефтепроводов с различными прочност-

ными характеристиками сталей.

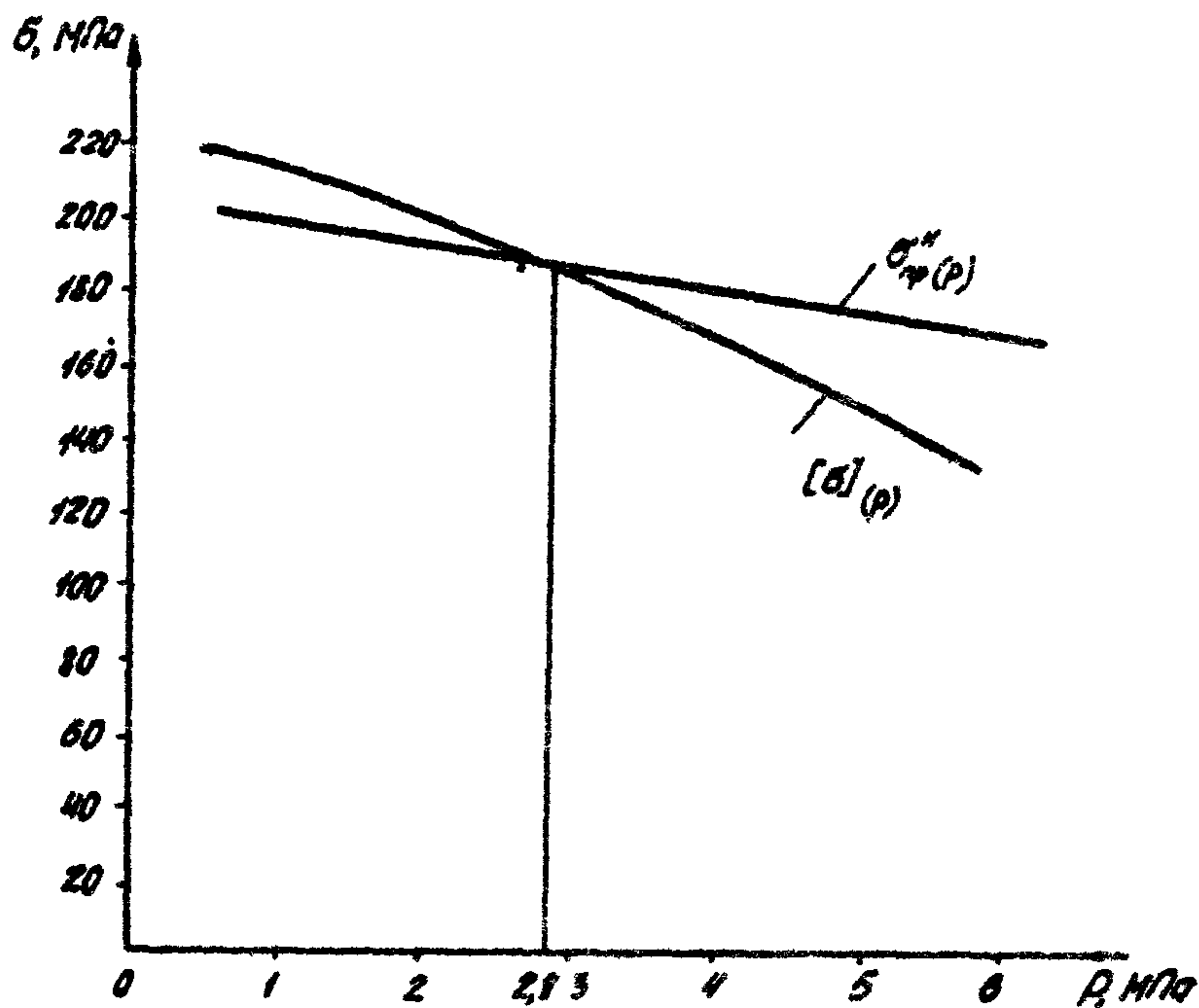


Рис. I. Определение предельно допустимого внутреннего давления на подводном переходе р. Демьянка (II катка) и/п Нижневартовск-Курган-Куйбышев.

ЛИТЕРАТУРА

1. Правила технической эксплуатации магистральных нефтепроводов. (РД 39-30-117-78)-М.: Недра, 1979.
2. Магистральные трубопроводы. Нормы проектирования (СНиП В-45-75)-М.: Стройиздат, 1975.
3. Методика расчета на прочность участков газопроводов по замерам высотного положения оси. Тюмень. Тюменьгипрогаз, 1977.
4. Инструкция по контролю за строительством, приемке и эксплуатации подводных переходов магистральных нефте- и продуктопроводов.-М.: ВНИИОЭНГ, 1976.
5. Демидович Б.Б. Восстановление функции и её производных по экспериментальной информации", вып. Ун., МГУ, 1967.
6. Гласко В.В., Зайкин П.Н. О программе регулирующего алгоритма для уравнения Фредгольма первого рода. Сб. "Вычислительные методы и программирование", вып. У, МГУ, 1966

Приложение I

**ПРОГРАММЫ ДЛЯ РАСЧЕТА НАПРЯЖЕНИЙ ИЗГИБА
В ПОДВОДНЫХ ТРУБОПРОВОДАХ**

П.1.1. Назначение программы

Программа предназначена для определения напряжения изгиба в поперечных сечениях трубопровода. Исходной информацией для расчетов является массив высотных отметок $\{x_i, y_i\}_n$ - координат точек верхней обрауущей трубы. По этим данным определяются вторые производные, через которые вычисляется напряжение изгиба

$$\sigma_{\text{изг}}(x_i) = \frac{EDY''}{2}(x_i), \quad (1.1.)$$

E - модуль упругости материала трубы;

D - наружный диаметр трубы.

Как известно, задача определения вторых производных функций $Y=Y(X)$ по отдельным значениям её $\{x_i, y_i\}_n$ является некорректно поставленной задачей, решение которой возможно лишь специальными методами.

В настоящей программе реализован алгоритм, основанный на методе регуляризации А.Н.Тихонова, согласно которому задача восстановления вторых производных сводится к решению интегрального уравнения с регуляризующим параметром α .

Алгоритм реализован для ЭВМ ЕС-1020 на языке фортран И, для ЭВМ "Накри-2" - на языке АЛ. Ниже приводится описание регуляризующего алгоритма и программы.

П.1.2. Описание алгоритма вычисления вторых производных

Метод регуляризации приближенного решения интегральных уравнений основан на вариационном принципе, согласно которому вторые

производные определяются с помощью параметрического функционала $M_\alpha(\varPhi, Z)$, в котором параметр регуляризации α связан с точностью исходной информации. Согласно регуляризирующему алгоритму [5] функция должна доставлять минимум функционалу.

$$M_\alpha[\varPhi, Z] = \int_a^b [A[Z] - \varPhi(x)] dx + \int_a^b [\kappa_1(s)[Z'(s)]^2 + \kappa_2(s)Z''(s)] ds \quad (I.2)$$

a, b - координаты начала и конца расчетного участка, в котором

$$A[Z] = \int_a^b \kappa(s)Z(s) ds = \varPhi(x) \quad (I.3)$$

- интегральное уравнение Фредгальма первого ряда.

$$\varPhi(x) = y(x) - y(a) - y'(a)(x-a) \quad (I.4)$$

$$\sum_{j=1}^n \kappa(x_j; s_j) Z_j h = \tilde{\varPhi}(x_i) \quad i=1, 2, 3, \dots, n \quad (I.5)$$

$y'(a)$ - начальный угол поворота;

$\tilde{\varPhi}(x_i)$ - замеряемые вертикальные ординаты;

$\kappa(s), \kappa_1(s)$ - некоторые наперед заданные неотрицательные функции, принимаемые в дальнейших выкладках постоянными величинами;

κ - прерывистое ядро.

$$\kappa(x, s) = \begin{cases} x-s & \alpha < s < x \\ 0 & x < s \leq \beta \end{cases} \quad (I.6)$$

Первая часть функционала представляет обычную запись метода наименьших квадратов, вторая - связана с параметром регуляризации и является сглаживающим членом.

Одним из способов минимизации функционала является решение краевой задачи для уравнения Эйлера. Запишем функционал (I.2) в виде:

$$\int_a^b \kappa(s, t) Z(t) dt + \alpha [\kappa_1 Z(s) - \kappa_2 Z''(s)] \cdot B(s), \quad (I.7)$$

$$\text{где } B(s) = \int_a^s (x-s) [y(x) - y(a) - y'(a)(x-a)] dx. \quad (I.8)$$

Исходя из того, что вариации в общем случае равны нулю, следует: искомая функция вторых производных должна удовлетворять естественным усилиям

$$Z'(a) = Z'(b) = 0, \quad (I.9)$$

что неизбежно вызывает по концам расчетных участков значительные неточности в окончательном решении.

Решение окончательных уравнений строим через конечноразностную аппроксимацию на равномерной прямоугольной сетке с шагом. Для удобства совмещаем начало координат с левым концом расчетного участка, длина которого разбита на n частей. Тогда уравнение принимает вид:

$$h \sum_{j=1}^n K_{ij} Z_j - \frac{\alpha \kappa}{h^2} [Z_{i+1} (2 + \frac{h}{\kappa_1} h^2) Z_i + Z_{i-1}] Z_i, \quad (I.10)$$

где

$$K_{ij} = h^3 \begin{cases} \sum_{k=j}^{n-1} (\kappa-i)(\kappa-j) & 1 < i < j \\ \sum_{k=i}^n (\kappa-i)(\kappa-j) & j < i \leq n \end{cases} \quad (I.11)$$

$$\delta_i = h^2 \sum_{k=1}^n (\kappa-i) (\tilde{y}_k - \tilde{y}_0 - \kappa h \tilde{y}'_0) \quad (I.12)$$

Входящий в δ_i угол поворота левого конца \tilde{y}'_0 следует определять непосредственно по разности соседних ординат левого конца. Следует принимать решение уравнения (I.2), удовлетворяющее условиям (I.9), при этом варьируется параметр регуляризации α' , что существенно влияет на роль сглаживающего члена уравнения. Параметр регуляризации будем варьировать согласно рекомендациям

$$\alpha'_m = 10^m \quad m = 0, 1, 2, 3$$

Выбор оптимального значения параметра регуляризации не формализован, хотя имеются рекомендации [6] выбирать значение параметра по минимуму нормы

$$\|Z_{\text{aim},1} - Z_{\text{aim}}\|^2 = \left\{ \frac{1}{n} \sum_{i=1}^n [Z_{\text{aim},1}(x_i) - Z_{\text{aim}}(x_i)]^2 \right\}^{1/2} \quad (I.13)$$

Однако опыт эксплуатации программы показал, что этот критерий для реальных трубопроводов не работает, поэтому предлагается в качестве окончательного решения выбирать решение при значении параметра [3,5], когда график полученных вторых производных из пилообразного становится гладким.

П. I.3. Описание программы для ЭВМ ЕС-1020

П. I.3.1. Ввод исходной информации

Перечень входной информации дан в таблице П. I.1. Ограничения на размеры массивов следующие $N \leq 50$. Число разных значений параметра регуляризации $\alpha \leq 50$.

Пакет исходных данных формируется следующим образом:

- первая карта содержит одно число:

1) количество точек измерений $\{x_i \ y_i\} - N$

- вторая карта содержит три числа:

2) диаметр трубы - D

3) длина исследуемого участка трубопровода - B

4) шаг измерений по оси $X - F$

- третья карта содержит два числа:

5) начальное значение параметра регуляризации - E

6) конечное значение параметра регуляризации - EI

- далее идут одна или несколько карт, содержащие ординаты точек наблюдений $\{y_i\} - U(I)$

Таблица П. I.1.

Название реквизита	Обозначение в программе	Форматный код ввода			Замечания
		1	2	3	
I. Число измерений высотного положения верхней образующей трубопровода	N	I		2	

I	2	3	4
2. Диаметр трубы	D	F6.1	
3. Длина по оси X исследуемо-го участка трубопровода	B	F6.2	
4. Шаг измерений по оси X	F	F6.2	
5. Начальное значение параметра регуляризации	E	E 5,0	
6. Конечное значение параметра регуляризации	E I	E 5,0	
7. Массив ординат точек наблюдений Y(X)	U	26F3.1	Данный форматный код необходимо менять, если данные не соответствуют этому формату

П.1.3.2. Печать результатов

Перечень выводной информации дан в таблице П.1.2

Таблица П.1.2

Наименование реквизита	Обозначение в программе	Выходной формат	Примечания
I	2	3	4
1. Печатаются входные данные	-	-	
2. Значение параметра регуляризации α'	E	F12.0	
3. Параметр, характеризующий правильность решения системы линейных уравнений	I ER	I5	если $IER=0$, то система ре-

I	2	3	4
			шена верно $IER > 0$ возмож- на потеря точ- ности
4. Массив значений второй производной в точках X_i	R	10 12.4	
5. Массив напряжений изгиба в точках X_i	E	10 E12.4.	
6. Массив значений норм для	F C		печатается после послед- него шага зод'

П.1.3.3. Используемые подпрограммы

В программе используется программа решения систем линейных уравнений $DGELG$ из пакета прикладных программ фортрана ДОС ЕС ЭВМ.

Замечание. При запуске программы необходимо в управляющих операторах ставить операторы $ASSGN, DLBL, EXTENT$, которые определяют личную библиотеку объектных моделей, в состав которой входит программа $DGELG$.

П.1.3.4. Контрольный пример

Для контрольного примера взяты следующие данные:

- 1) число наблюдений $N = 25$
- 2) диаметр трубы $D = 0,72 \text{ м}$
- 3) длина исследуемого участка $B = 280 \text{ м}$
- 4) шаг измерений по оси X : $F = 20 \text{ м}$
- 5) начальное значение параметра регуляризации $E = 10^0$

б) конечное значение параметра регуляризации $E = 10^6$
 - ординаты точек наблюдения следующие И(1) : 5,3 5,2 4,9
 4,3 3,7 3,0 2,3 1,7 1,1 0,6 0,3 0,1 0,1 0,3 0,6 1,1
 1,7 2,5 3,4 4,4 5,5 6,5 7,5 8,4 9,0.

П.1.4. Описание программы для ЭВМ "Найри-2"

П.1.4.1. Описание алгоритма

Эта программа отличается от программы для ВС ЭВМ только тем, что может обрабатывать ровно 15 наблюдений. Если на обрабатываемом участке более 14-ти точек измерения высотного положения верхней образующей трубопровода, то необходимо разбить участок на части, содержащие по 15 измерений. При этом удобно для лучшей стыковки результатов на соседних частях, делать разбиение так, чтобы они пересекались. Опыт использования программы показал, что наиболее удобным является разбиение, когда пересечение соседних частей составляет 5-6 точек измерения.

П.1.4.2. Ввод исходных данных CONSUL.

В данной программе осуществляется бесформатный ввод данных.

Он выполняется в следующей последовательности:

1. Вначале вводятся 2 значения

Расстояние между замерами - м

Диаметр трубы - D . см

2. Затем вводятся 15 значений высотного положения трубы

$/KK = 0,1 \dots 14$

3. Затем L раз вводится значение регуляризующего параметра ϵ .

При этом ввод очередного значения параметра ϵ осуществляется после того, как будут напечатаны результаты расчета предыдущего значения ϵ .

П.1.4.3. Печать результатов

В данной программе на печать выдаются значения второй производной U_2

и напряжения изгиба σ_{y3r} . При этом первые 3 и последние 4 значения не печатаются, так как эти крайние значения являются неверными в силу действия краевых эффектов.

П.1.4.4. Контрольный пример

Для контрольного примера взяты следующие данные:

$$h = 5 \text{ м}$$

$$D = 0,72 \text{ м}$$

- ординаты точек наблюдения следующие: 53,0 52,985 52,97
52,955 52,94 52,925 52,91 52,885 52,98 52,865 52,85
52,75 52,64 52,53 52,42.

П.1.5. Аналитический расчет напряжений изгиба

Напряжение изгиба при отсутствии ЭВМ вычисляются по формулам:

$$\sigma_{y3r}(x_i) = \frac{EDY''}{2}(x_i), \quad (I.14)$$

$$Y'' = \frac{Y_{i-1} - 2Y_i + Y_{i+1}}{h^2}, \quad (I.15)$$

где Y_i, Y_{i-1}, Y_{i+1} - отметки верхней образующей трубы, принятые в следующей последовательности:



h - шаг замеров.

Точность расчета в пределах 5-8%.

Программа для ЭВМ EC-1020

```
// JOB IDR1SOW
// OPTION LINK
ACTION MONAP
// ASSGN SYSRLB,X'193'
// DLBL IJSYSRL,99/365
// EXTENT SYSRLB,LIBRF4,1,1,10,1800
// EXEC FFORTRAN
```

DOS/FS FORTAN IV V.M 2.0

OPTIONS IN EFFECT

LOKC *6

UECK NO

LIST YES

LISTX NO DOS/FS FORTAN IV V.M 2.0 MAINPGM DATE 30/01/85

```
0001      DOUBLE PRECISION R(50),W(2500),WI(2500)
0002      COMMON D,B,F,H1,E,E1
0003      H1=0.21E+7
0004      READ(1,201)N,D,B,F,E,E1
0005      201 FORMAT(12/3F6.2/2E5.0)
0006      WRITE(3,202)N,D,B,F,H1,E,E1
0007      202 FORMAT(1X,'N='),12.2X,'C=' ,F7.2,2X,
1'B=' ,F7.1,2X,'P=' ,F6.2,2X,'H=' ,E12.3/
23X,'E=' ,E8.1,2X,'E1=' ,E8.1//)
0008      ND=N+1
0009      CALL REGUL(N,ND,R,W,WI)
0010      STOP
0011      END
```

05/FS FORTAN IV V.M 2.0 MAINPGM DATE 30/01/85

```
2001      SUBROUTINE REGUL(N,ND,R,W,WI)
2002      DOUBLE PRECISION R(N),W(N,ND),WI(N,ND),
1U(50),G(50),R2(50),FC(50)
2003      COMMON D,B,F,H1,E,E1
2004      REAL H
2005      READ(1,211)U(),I81,N1
2006      211 FORMAT(3.2F3)I10(1)-181,N1
2007      217 FORMAT(1X,20F6.1)
2008      N1=N+1
2009      S=B
2010      Y=0
2011      A=0
2012      X=F/2
2013      I=1
2014      Z=1
2015      4 H=(B**3-A**3)/3-(Y+S)*(B**2-A**2)/2*
2016      *S+Y*(B-A)
2017      *I,J)=H*X
2018      Y=Y+F
2019      J=J+1
```

```

0020      X=F
0021      IF(Y-(B-0.01))2,1,1
0022      1  X=F/2
0023      1F(Y-(B+0.01))2,2,3
0024      3  S=S+F
0025      3I=I+1
0026      Y=0
0027      A=S
0028      J=1
0029      X=F/2
0030      1F(S-(B+0.01))4,23,23
0031      2  1F((S-Y).LT.0.01)GOTO 21
0032      10 A=S
0033      FOTO 4
0034      21 A=Y
0035      GOTO 4
0036      23 I=1
0037      J=N+1
0038      T=0
0039      S=0
0040      K=J
0041      W(I,J)=0
0042      X=F/2
0043      24 R=T-S
0044      R=U(K)-U(I)-T*(U(2)*U(1))/F
0045      W(I,J)=W(I,J)+C*N*X
0046      N=N+1
0047      T=T+F
0048      1F(K-(N-1))24,24,30
0049      30 X=F/2
0050      1F(X-N)24,24,32
0051      32 S=S+F
0052      3I=I+1
0053      K=I
0054      T=S
0055      W(I,J)=0
0056      X=F/2
0057      33 DO 170 I=1,N
0058      170 S2(I)=0.0
0059      171 S2(I)=0.0
0060      172 S2(I)=0.0
0061      173 S2(I)=0.0
0062      174 S2(I)=0.0
0063      175 S2(I)=0.0
0064      176 S2(I)=0.0
0065      177 S2(I)=0.0
0066      178 S2(I)=0.0
0067      179 S2(I)=0.0
0068      180 S2(I)=0.0
0069      181 S2(I)=0.0
0070      182 S2(I)=0.0
0071      183 S2(I)=0.0
0072      184 S2(I)=0.0
0073      185 S2(I)=0.0
0074      186 S2(I)=0.0
0075      187 S2(I)=0.0
0076      188 S2(I)=0.0
0077      189 S2(I)=0.0
0078      190 S2(I)=0.0
0079      191 S2(I)=0.0
0080      192 S2(I)=0.0
0081      193 S2(I)=0.0
0082      194 S2(I)=0.0
0083      195 S2(I)=0.0
0084      196 S2(I)=0.0
0085      197 S2(I)=0.0
0086      198 S2(I)=0.0
0087      199 S2(I)=0.0
0088      200 S2(I)=0.0
0089      201 S2(I)=0.0
0090      202 S2(I)=0.0
0091      203 S2(I)=0.0
0092      204 S2(I)=0.0
0093      205 S2(I)=0.0
0094      206 S2(I)=0.0
0095      207 S2(I)=0.0
0096      208 S2(I)=0.0
0097      209 S2(I)=0.0
0098      210 S2(I)=0.0
0099      211 S2(I)=0.0
0100      212 S2(I)=0.0
0101      213 S2(I)=0.0
0102      214 S2(I)=0.0
0103      215 S2(I)=0.0
0104      216 S2(I)=0.0
0105      217 S2(I)=0.0
0106      218 S2(I)=0.0
0107      219 S2(I)=0.0
0108      220 S2(I)=0.0
0109      221 S2(I)=0.0
0110      222 S2(I)=0.0
0111      223 S2(I)=0.0
0112      224 S2(I)=0.0
0113      225 S2(I)=0.0
0114      226 S2(I)=0.0
0115      227 S2(I)=0.0
0116      228 S2(I)=0.0
0117      229 S2(I)=0.0
0118      230 S2(I)=0.0
0119      231 S2(I)=0.0
0120      232 S2(I)=0.0
0121      233 S2(I)=0.0
0122      234 S2(I)=0.0
0123      235 S2(I)=0.0
0124      236 S2(I)=0.0
0125      237 S2(I)=0.0
0126      238 S2(I)=0.0
0127      239 S2(I)=0.0
0128      240 S2(I)=0.0
0129      241 S2(I)=0.0
0130      242 S2(I)=0.0
0131      243 S2(I)=0.0
0132      244 S2(I)=0.0
0133      245 S2(I)=0.0
0134      246 S2(I)=0.0
0135      247 S2(I)=0.0
0136      248 S2(I)=0.0
0137      249 S2(I)=0.0
0138      250 S2(I)=0.0
0139      251 S2(I)=0.0
0140      252 S2(I)=0.0
0141      253 S2(I)=0.0
0142      254 S2(I)=0.0
0143      255 S2(I)=0.0
0144      256 S2(I)=0.0
0145      257 S2(I)=0.0
0146      258 S2(I)=0.0
0147      259 S2(I)=0.0
0148      260 S2(I)=0.0
0149      261 S2(I)=0.0
0150      262 S2(I)=0.0
0151      263 S2(I)=0.0
0152      264 S2(I)=0.0
0153      265 S2(I)=0.0
0154      266 S2(I)=0.0
0155      267 S2(I)=0.0
0156      268 S2(I)=0.0
0157      269 S2(I)=0.0
0158      270 S2(I)=0.0
0159      271 S2(I)=0.0
0160      272 S2(I)=0.0
0161      273 S2(I)=0.0
0162      274 S2(I)=0.0
0163      275 S2(I)=0.0
0164      276 S2(I)=0.0
0165      277 S2(I)=0.0
0166      278 S2(I)=0.0
0167      279 S2(I)=0.0
0168      280 S2(I)=0.0
0169      281 S2(I)=0.0
0170      282 S2(I)=0.0
0171      283 S2(I)=0.0
0172      284 S2(I)=0.0
0173      285 S2(I)=0.0
0174      286 S2(I)=0.0
0175      287 S2(I)=0.0
0176      288 S2(I)=0.0
0177      289 S2(I)=0.0
0178      290 S2(I)=0.0
0179      291 S2(I)=0.0
0180      292 S2(I)=0.0
0181      293 S2(I)=0.0
0182      294 S2(I)=0.0
0183      295 S2(I)=0.0
0184      296 S2(I)=0.0
0185      297 S2(I)=0.0
0186      298 S2(I)=0.0
0187      299 S2(I)=0.0
0188      300 S2(I)=0.0
0189      301 S2(I)=0.0
0190      302 S2(I)=0.0
0191      303 S2(I)=0.0
0192      304 S2(I)=0.0
0193      305 S2(I)=0.0
0194      306 S2(I)=0.0
0195      307 S2(I)=0.0
0196      308 S2(I)=0.0
0197      309 S2(I)=0.0
0198      310 S2(I)=0.0
0199      311 S2(I)=0.0
0200      312 S2(I)=0.0
0201      313 S2(I)=0.0
0202      314 S2(I)=0.0
0203      315 S2(I)=0.0
0204      316 S2(I)=0.0
0205      317 S2(I)=0.0
0206      318 S2(I)=0.0
0207      319 S2(I)=0.0
0208      320 S2(I)=0.0
0209      321 S2(I)=0.0
0210      322 S2(I)=0.0
0211      323 S2(I)=0.0
0212      324 S2(I)=0.0
0213      325 S2(I)=0.0
0214      326 S2(I)=0.0
0215      327 S2(I)=0.0
0216      328 S2(I)=0.0
0217      329 S2(I)=0.0
0218      330 S2(I)=0.0
0219      331 S2(I)=0.0
0220      332 S2(I)=0.0
0221      333 S2(I)=0.0
0222      334 S2(I)=0.0
0223      335 S2(I)=0.0
0224      336 S2(I)=0.0
0225      337 S2(I)=0.0
0226      338 S2(I)=0.0
0227      339 S2(I)=0.0
0228      340 S2(I)=0.0
0229      341 S2(I)=0.0
0230      342 S2(I)=0.0
0231      343 S2(I)=0.0
0232      344 S2(I)=0.0
0233      345 S2(I)=0.0
0234      346 S2(I)=0.0
0235      347 S2(I)=0.0
0236      348 S2(I)=0.0
0237      349 S2(I)=0.0
0238      350 S2(I)=0.0
0239      351 S2(I)=0.0
0240      352 S2(I)=0.0
0241      353 S2(I)=0.0
0242      354 S2(I)=0.0
0243      355 S2(I)=0.0
0244      356 S2(I)=0.0
0245      357 S2(I)=0.0
0246      358 S2(I)=0.0
0247      359 S2(I)=0.0
0248      360 S2(I)=0.0
0249      361 S2(I)=0.0
0250      362 S2(I)=0.0
0251      363 S2(I)=0.0
0252      364 S2(I)=0.0
0253      365 S2(I)=0.0
0254      366 S2(I)=0.0
0255      367 S2(I)=0.0
0256      368 S2(I)=0.0
0257      369 S2(I)=0.0
0258      370 S2(I)=0.0
0259      371 S2(I)=0.0
0260      372 S2(I)=0.0
0261      373 S2(I)=0.0
0262      374 S2(I)=0.0
0263      375 S2(I)=0.0
0264      376 S2(I)=0.0
0265      377 S2(I)=0.0
0266      378 S2(I)=0.0
0267      379 S2(I)=0.0
0268      380 S2(I)=0.0
0269      381 S2(I)=0.0
0270      382 S2(I)=0.0
0271      383 S2(I)=0.0
0272      384 S2(I)=0.0
0273      385 S2(I)=0.0
0274      386 S2(I)=0.0
0275      387 S2(I)=0.0
0276      388 S2(I)=0.0
0277      389 S2(I)=0.0
0278      390 S2(I)=0.0
0279      391 S2(I)=0.0
0280      392 S2(I)=0.0
0281      393 S2(I)=0.0
0282      394 S2(I)=0.0
0283      395 S2(I)=0.0
0284      396 S2(I)=0.0
0285      397 S2(I)=0.0
0286      398 S2(I)=0.0
0287      399 S2(I)=0.0
0288      400 S2(I)=0.0
0289      401 S2(I)=0.0
0290      402 S2(I)=0.0
0291      403 S2(I)=0.0
0292      404 S2(I)=0.0
0293      405 S2(I)=0.0
0294      406 S2(I)=0.0
0295      407 S2(I)=0.0
0296      408 S2(I)=0.0
0297      409 S2(I)=0.0
0298      410 S2(I)=0.0
0299      411 S2(I)=0.0
0300      412 S2(I)=0.0
0301      413 S2(I)=0.0
0302      414 S2(I)=0.0
0303      415 S2(I)=0.0
0304      416 S2(I)=0.0
0305      417 S2(I)=0.0
0306      418 S2(I)=0.0
0307      419 S2(I)=0.0
0308      420 S2(I)=0.0
0309      421 S2(I)=0.0
0310      422 S2(I)=0.0
0311      423 S2(I)=0.0
0312      424 S2(I)=0.0
0313      425 S2(I)=0.0
0314      426 S2(I)=0.0
0315      427 S2(I)=0.0
0316      428 S2(I)=0.0
0317      429 S2(I)=0.0
0318      430 S2(I)=0.0
0319      431 S2(I)=0.0
0320      432 S2(I)=0.0
0321      433 S2(I)=0.0
0322      434 S2(I)=0.0
0323      435 S2(I)=0.0
0324      436 S2(I)=0.0
0325      437 S2(I)=0.0
0326      438 S2(I)=0.0
0327      439 S2(I)=0.0
0328      440 S2(I)=0.0
0329      441 S2(I)=0.0
0330      442 S2(I)=0.0
0331      443 S2(I)=0.0
0332      444 S2(I)=0.0
0333      445 S2(I)=0.0
0334      446 S2(I)=0.0
0335      447 S2(I)=0.0
0336      448 S2(I)=0.0
0337      449 S2(I)=0.0
0338      450 S2(I)=0.0
0339      451 S2(I)=0.0
0340      452 S2(I)=0.0
0341      453 S2(I)=0.0
0342      454 S2(I)=0.0
0343      455 S2(I)=0.0
0344      456 S2(I)=0.0
0345      457 S2(I)=0.0
0346      458 S2(I)=0.0
0347      459 S2(I)=0.0
0348      460 S2(I)=0.0
0349      461 S2(I)=0.0
0350      462 S2(I)=0.0
0351      463 S2(I)=0.0
0352      464 S2(I)=0.0
0353      465 S2(I)=0.0
0354      466 S2(I)=0.0
0355      467 S2(I)=0.0
0356      468 S2(I)=0.0
0357      469 S2(I)=0.0
0358      470 S2(I)=0.0
0359      471 S2(I)=0.0
0360      472 S2(I)=0.0
0361      473 S2(I)=0.0
0362      474 S2(I)=0.0
0363      475 S2(I)=0.0
0364      476 S2(I)=0.0
0365      477 S2(I)=0.0
0366      478 S2(I)=0.0
0367      479 S2(I)=0.0
0368      480 S2(I)=0.0
0369      481 S2(I)=0.0
0370      482 S2(I)=0.0
0371      483 S2(I)=0.0
0372      484 S2(I)=0.0
0373      485 S2(I)=0.0
0374      486 S2(I)=0.0
0375      487 S2(I)=0.0
0376      488 S2(I)=0.0
0377      489 S2(I)=0.0
0378      490 S2(I)=0.0
0379      491 S2(I)=0.0
0380      492 S2(I)=0.0
0381      493 S2(I)=0.0
0382      494 S2(I)=0.0
0383      495 S2(I)=0.0
0384      496 S2(I)=0.0
0385      497 S2(I)=0.0
0386      498 S2(I)=0.0
0387      499 S2(I)=0.0
0388      500 S2(I)=0.0
0389      501 S2(I)=0.0
0390      502 S2(I)=0.0
0391      503 S2(I)=0.0
0392      504 S2(I)=0.0
0393      505 S2(I)=0.0
0394      506 S2(I)=0.0
0395      507 S2(I)=0.0
0396      508 S2(I)=0.0
0397      509 S2(I)=0.0
0398      510 S2(I)=0.0
0399      511 S2(I)=0.0
0400      512 S2(I)=0.0
0401      513 S2(I)=0.0
0402      514 S2(I)=0.0
0403      515 S2(I)=0.0
0404      516 S2(I)=0.0
0405      517 S2(I)=0.0
0406      518 S2(I)=0.0
0407      519 S2(I)=0.0
0408      520 S2(I)=0.0
0409      521 S2(I)=0.0
0410      522 S2(I)=0.0
0411      523 S2(I)=0.0
0412      524 S2(I)=0.0
0413      525 S2(I)=0.0
0414      526 S2(I)=0.0
0415      527 S2(I)=0.0
0416      528 S2(I)=0.0
0417      529 S2(I)=0.0
0418      530 S2(I)=0.0
0419      531 S2(I)=0.0
0420      532 S2(I)=0.0
0421      533 S2(I)=0.0
0422      534 S2(I)=0.0
0423      535 S2(I)=0.0
0424      536 S2(I)=0.0
0425      537 S2(I)=0.0
0426      538 S2(I)=0.0
0427      539 S2(I)=0.0
0428      540 S2(I)=0.0
0429      541 S2(I)=0.0
0430      542 S2(I)=0.0
0431      543 S2(I)=0.0
0432      544 S2(I)=0.0
0433      545 S2(I)=0.0
0434      546 S2(I)=0.0
0435      547 S2(I)=0.0
0436      548 S2(I)=0.0
0437      549 S2(I)=0.0
0438      550 S2(I)=0.0
0439      551 S2(I)=0.0
0440      552 S2(I)=0.0
0441      553 S2(I)=0.0
0442      554 S2(I)=0.0
0443      555 S2(I)=0.0
0444      556 S2(I)=0.0
0445      557 S2(I)=0.0
0446      558 S2(I)=0.0
0447      559 S2(I)=0.0
0448      560 S2(I)=0.0
0449      561 S2(I)=0.0
0450      562 S2(I)=0.0
0451      563 S2(I)=0.0
0452      564 S2(I)=0.0
0453      565 S2(I)=0.0
0454      566 S2(I)=0.0
0455      567 S2(I)=0.0
0456      568 S2(I)=0.0
0457      569 S2(I)=0.0
0458      570 S2(I)=0.0
0459      571 S2(I)=0.0
0460      572 S2(I)=0.0
0461      573 S2(I)=0.0
0462      574 S2(I)=0.0
0463      575 S2(I)=0.0
0464      576 S2(I)=0.0
0465      577 S2(I)=0.0
0466      578 S2(I)=0.0
0467      579 S2(I)=0.0
0468      580 S2(I)=0.0
0469      581 S2(I)=0.0
0470      582 S2(I)=0.0
0471      583 S2(I)=0.0
0472      584 S2(I)=0.0
0473      585 S2(I)=0.0
0474      586 S2(I)=0.0
0475      587 S2(I)=0.0
0476      588 S2(I)=0.0
0477      589 S2(I)=0.0
0478      590 S2(I)=0.0
0479      591 S2(I)=0.0
```

```

0080      100 102 1+3,N
0081      102 R(1)W1(1,1)
0082      ,NN=1
0083      EP3=0,01E-10
0084      CALL DCELG(R,W1,N,NN,EP3,168)
0085      WRITE(3,111)188
0086      111 FORMAT(1X,5I5)
0087      WRITE(3,105)(R(I),I=1,N)
0088      105 FORMAT(1X,'STOPME ПРОИЗВОДИМ'/(10D12.4))
0089      ,DO 110 1=1,N
0090      110 .C(1)=W1*0.2*W(1)
0091      WRITE(3,68)(C(I),I=1,N)
0092      68 FORMAT(1X,'НАПРЯЖЕНИЯ'/(1BE12.4))
0093      N22=N-2
0094      FC(31)=0
0095      ,DO 102 1=3,N22
0096      FC(31)=FC(31)+IN(1)*RE(S(1))*W2
0097      102 R2(1)=R(1)
0098      FC(31)=FC(31)/IN-4
0099      FC(31)=0.00001*(FC(31))
0100      S1=S1+1
0101      103=10
0102      104 WRITE(3,103)(FC(I),I=1,N,31)
0103      103 FORMAT(1X,'НОРМЫ'/(10E12.4))
0104      491 RETURN
0105      END

```

003/F3 FORTRAN IV V.M 2.0

REGUL

DATE 30/01/03

Контрольный пример для ЭВМ ЕС-1020

// EXEC LNKEDT

// EXEC

Нагг 0. 0.72 0. 488.0 F= 20.00 Н1р 0.21088E 07
 Е10 0.1E 01 Е11 0.1E 03

5.3	5.2	4.9	4.3	3.7	3.0	2.3	1.7	1.1	0.6	0.3	0.1	0.1	0.3	0.6	3.1	1.7	2.5	3.4	4.4	
5.5	6.3	7.5	8.4	9.0																

EO 1.

8 ВТОРЫЕ ПРОИЗВОДНЫЕ

0.15780-03	-0.46980-03	-0.11140-02	0.40140-03	-0.46980-03	-0.72240-05	0.43750-03	-0.17580-03	0.24100-03	0.60380-03
0.53370-04	0.59270-03	0.58980-03	0.36320-04	0.75460-03	-0.24360-05	0.70240-03	0.17770-03	0.17850-03	0.49630-03
-0.57910-03	0.24860-03	-0.53750-03	0.37630-03	0.92330-06					

НАПРЯЖЕНИЯ

0.18670-03	-0.35510-03	-0.84230-03	0.30350-03	-0.35460-03	-0.54610-01	0.33870-03	-0.13230-03	0.18220-03	0.51640-03
0.46560-02	0.44880-03	0.44530-03	0.27460-02	0.57850-03	-0.10420-01	0.53180-03	0.13430-03	0.13590-03	0.37510-03
-0.43780-03	0.21210-03	-0.48660-03	0.27990-03	0.69800-09					

EO 10.

8

0.13790-03	-0.27520-03	-0.11140-02	0.40030-03	-0.46830-03	-0.73780-05	0.43710-03	-0.17470-03	0.24100-03	0.68270-03
0.54850-04	0.59230-03	0.58870-03	0.36990-04	0.75380-03	-0.15760-05	0.70180-03	0.17790-03	0.17880-03	0.49540-03
-0.37940-03	0.27950-03	-0.53680-03	0.36940-03	0.92110-06					

НАПРЯЖЕНИЯ

0.11680-03	-0.35550-03	-0.84180-03	0.30260-03	-0.35480-03	-0.55720-01	0.33850-03	-0.13210-03	0.18220-03	0.51610-03
-0.23940-03	0.24730-03	-0.44210-03	0.27870-03	0.59980-03	-0.11910-01	0.53850-03	0.13450-03	0.13520-03	0.37450-03
EO 100.									

8

ВТОРЫЕ ПРОИЗВОДНЫЕ

0.15840-03	-0.47420-03	-0.11080-02	0.30930-03	-0.46890-03	-0.87550-05	0.43410-03	-0.17130-03	0.24110-03	0.67890-03
0.56730-04	0.59890-03	0.58610-03	0.43960-04	0.74530-03	0.68320-05	0.69530-03	0.18860-03	0.18120-03	0.48680-03
-0.36770-03	0.26890-03	-0.52630-03	0.36060-03	0.89960-06					

НАПРЯЖЕНИЯ

0.11980-03	-0.35050-03	-0.83480-03	0.29430-03	-0.34850-03	-0.66190-01	0.32820-03	-0.12950-03	0.18220-03	0.51320-03
0.44460-03	0.44640-03	-0.44310-03	0.32930-02	0.56340-03	0.51650-01	0.52570-03	0.13650-03	0.13790-03	0.36890-03
-0.42920-03	0.26390-03	-0.39790-03	0.29270-03	0.68810-09					

EO 1000.

8

ВТОРЫЕ ПРОИЗВОДНЫЕ

0.16640-03	-0.50510-03	-0.16280-02	0.29750-03	-0.49110-03	-0.17230-04	0.40440-03	-0.14810-03	0.24140-03	0.64480-03
0.16810-03	0.57290-03	0.56490-03	0.97030-04	0.67680-03	0.74850-04	0.64270-03	0.28270-03	0.20020-03	0.42840-03
-0.48440-03	0.16160-03	-0.44550-03	0.29280-03	0.72810-06					

НАПРЯЖЕНИЯ

0.12540-03	-0.36190-03	-0.77720-03	0.22490-03	-0.30330-03	-0.13820-02	0.38580-03	-0.10590-03	0.10250-03	0.48750-03
0.79640-02	0.43310-03	0.42780-03	0.73300-02	0.51160-03	0.36580-02	0.48590-03	0.15320-03	0.15140-03	0.32380-03
-0.36630-03	0.13730-03	-0.35680-03	0.22670-03	0.55850-08					

EO 1000.

8

ВТОРЫЕ ПРОИЗВОДНЫЕ

0.12510-03	-0.55440-03	-0.76790-03	-0.40670-04	-0.20870-03	-0.63930-05	0.24980-03	0.74910-03	0.24260-03	0.49710-03
0.27210-03	0.49740-03	0.49430-03	0.26670-03	0.47260-03	0.27560-03	0.47840-03	0.28210-03	0.24920-03	0.24840-03
-0.23190-03	-0.56430-04	-0.22230-03	0.98330-04	0.22530-06					

НАПРЯЖЕНИЯ

0.94630-02	-0.41910-03	-0.58030-03	-0.38570-02	-0.15780-03	-0.48330-01	0.18880-03	0.56640-01	0.18340-03	0.37580-03
-0.39930-03	-0.37880-03	-0.37780-03	0.88230-02	0.37330-03	0.26830-03	0.36170-03	0.21330-03	0.18840-03	0.10170-03

ИСРМН

0.49510-03	0.6970-06	0.67440-05	0.55180-04	0.18880-03	-0.17380-08				
------------	-----------	------------	------------	------------	-------------	--	--	--	--

EOJ FORTRAN

Программа для ЭВМ "Народ-2"

on 3-4-668r >362 «народ-2»
 i=15 j=16 w
 1=14 z
 k=14 u
 1 таб.ем ш л
 2 допустим k=0
 3 введен uk
 4 вставим k=k+1
 5 если k=14<0 идти к 3
 6 вычислим b=14w m=w/2
 7 вычислим w=b-m p=b+m
 8 допустим b=0 y=0 s=0 i=0 j=0 x=m
 y вычислим n=(b-s)/3-(y+s)(w-s)/2+sy(b-s)
 10 вычислим w(j=j+1) y=y+w
 11 вставим j=j+1
 12 доп стим x=w
 13 если y-u<0 идти к 21
 14 допустим x=m
 15 если y-p<0 u, o к 21
 16 вычислим b=s+w
 17 вставим i=i+1
 18 допустим y=0 s=b j=0 x=m
 19 если s-p<0 идти к 7
 20 идти к 26
 21 если s-y>0 идти к 24
 22 допустим s=y
 23 идти к 7
 24 допустим s=s
 25 идти к 5
 26 спросим
 27 допустим i=0 j=15 t=0 s=0 r=1 w(j=0 x=m
 28 вычислим o=t-s n=u-k-u-r(t(u)-u_0)/w
 29 вычислим w(j=w(j+1) n x t=t+w
 30 вставим k=k+1
 31 допустим x=w
 32 если k-1)<0 идти к 28
 33 допустим x=m
 34 если k-14<0 идти к 28
 35 вычислим s=s+w
 36 вставим i=i+1
 37 допустим k=1 t=o w(j=0 x=m
 38 если s-d<0 идти к 28
 39 печатаем с 1 знаками о
 40 допустим i=0 j=0 w=x
 41 вычислим w(j=w(j-o/x^2
 44 допустим i=1 j=0
 45 вычислим w(j=w(j-o/w^2
 46 вставим j=j+1
 47 вычислим w(j=w(j+o(2/x^2+1))
 48 вставим j=j+1
 49 вычислим w(j=w(j-o/x^2

50 Всегдаин $i=i+1$ $j=-1$
51 если $i-13 < 0$ идет к 45
52 вычислим $w_j = w_{j-1} \cdot e/x^2$
53 всегдаин $j=j+1$
54 вычислим $w_j = w_{j-1} + e(1/x^2 + 1)$
55 программа суп(и 15 з)
56 допустим $i=0$ $e=2100000$
57 вычислим $w=0.21/200$
58 печатаем в 5 знаками w
59 всегдаин $i=i+1$
60 если $i-14 < 0$ идет к 57
61 вычислим $e=10e$
62 если $e-1000000, i < 0$ идет к 8
иначе идет 1

Контрольный пример ЭВМ "Нептун-2"

53 52,985 52,97 52,955 52,94 52,925 52,91 52,895 52,88

52,865 52,85 52,75 52,64 52,53 52,42

5 72 20

$e = 1000,0$	
$z_0 = -0,00000$	$\delta = -5,76099$
$z_1 = -0,00000$	$\delta = -3,00300$
$z_2 = 0,00000$	$\delta = 2,00347$
$z_3 = 0,00001$	$\delta = 12,21594$
$z_4 = 0,00003$	$\delta = 28,73944$
$z_5 = 0,00005$	$\delta = 44,27047$
$z_6 = -0,00004$	$\delta = -33,77008$
$z_7 = -0,00006$	$\delta = -51,98619$
$z_8 = -0,00036$	$\delta = -273,56374$
$z_9 = -0,00084$	$\delta = -641,84789$
$z_{10} = -0,00129$	$\delta = -980,80630$
$z_{11} = -0,00102$	$\delta = -774,11195$
$z_{12} = -0,00060$	$\delta = -456,56832$
$z_{13} = -0,00029$	$\delta = -225,89478$
$z_{14} = -0,00001$	$\delta = -8,68826$
$e = 10000,0$	
$z_0 = 0,00006$	$\delta = 48,73042$
$z_1 = 0,00005$	$\delta = 36,49377$
$z_2 = 0,00003$	$\delta = 25,88200$
$z_3 = -0,00000$	$\delta = -7,47520$
$z_4 = -0,00002$	$\delta = -22,01903$
$z_5 = -0,00009$	$\delta = -68,22972$
$z_6 = -0,00017$	$\delta = -135,19442$
$z_7 = -0,00029$	$\delta = -222,42050$
$z_8 = -0,00042$	$\delta = -320,70920$
$z_9 = -0,00053$	$\delta = -406,83278$
$z_{10} = -0,00057$	$\delta = -437,89429$
$z_{11} = -0,00046$	$\delta = -351,83372$
$z_{12} = -0,00027$	$\delta = -210,50207$
$z_{13} = -0,00010$	$\delta = -77,50258$
$z_{14} = -0,00000$	$\delta = -2,98086$
$e = 100000,0$	
$z_0 = -0,00001$	$\delta = -8,70712$
$z_1 = -0,00001$	$\delta = -11,14072$
$z_2 = -0,00004$	$\delta = -31,73709$
$z_3 = -0,00008$	$\delta = -52,30442$
$z_4 = -0,00009$	$\delta = -72,54905$
$z_5 = -0,00012$	$\delta = -91,87623$
$z_6 = -0,00014$	$\delta = -109,23979$
$z_7 = -0,00016$	$\delta = -123,02193$
$z_8 = -0,00017$	$\delta = -130,92690$
$z_9 = -0,00017$	$\delta = -129,89841$
$z_{10} = -0,00015$	$\delta = -116,09400$
$z_{11} = -0,00011$	$\delta = -85,43154$
$z_{12} = -0,00008$	$\delta = -48,10469$
$z_{13} = -0,00002$	$\delta = -16,07293$
$z_{14} = -0,00000$	$\delta = -0,01813$

$e = -10000000, 0$	$\delta = -49,07886$
$z_0 = -0,00008$	$\delta = -47,59586$
$z_1 = -0,00008$	$\delta = -46,03660$
$z_2 = -0,00006$	$\delta = -44,40894$
$z_3 = -0,00005$	$\delta = -42,64117$
$z_4 = -0,00005$	$\delta = -40,63198$
$z_5 = -0,00005$	$\delta = -38,25336$
$z_6 = -0,00005$	$\delta = -35,35195$
$z_7 = -0,00004$	$\delta = -31,75056$
$z_8 = -0,00004$	$\delta = -27,25006$
$z_9 = -0,00003$	$\delta = -21,63367$
$z_{10} = -0,00002$	$\delta = -14,72326$
$z_{11} = -0,00001$	$\delta = -7,82534$
$z_{12} = -0,00001$	$\delta = -2,46520$
$z_{13} = -0,00000$	
$e = 10000000, 0$	
$z_0 = -0,00001$	$\delta = -14,33878$
$z_1 = -0,00001$	$\delta = -13,31290$
$z_2 = -0,00001$	$\delta = -12,24836$
$z_3 = -0,00001$	$\delta = -11,18052$
$z_4 = -0,00001$	$\delta = -10,10871$
$z_5 = -0,00001$	$\delta = -9,03025$
$z_6 = -0,00001$	$\delta = -7,94177$
$z_7 = -0,00000$	$\delta = -6,83935$
$z_8 = -0,00000$	$\delta = -5,71857$
$z_9 = -0,00000$	$\delta = -4,57458$
$z_{10} = -0,00000$	$\delta = -3,40238$
$z_{11} = -0,00000$	$\delta = -2,20227$
$z_{12} = -0,00000$	$\delta = -1,12409$
$z_{13} = -0,00000$	$\delta = -0,34024$

Приложение П

**ОПРЕДЕЛЕНИЕ ПРЕДЕЛЬНО ДОПУСТИМОГО ДАВЛЕНИЯ
В НЕФТЕПРОВОДЕ НА УЧАСТКАХ ПОДВОДНЫХ ПЕРЕХОДОВ**

ПОРЯДОК РАСЧЕТА

П.2.1. Определяются категории магистральных нефтепроводов на подводных переходах, соответственно по СНиП [2] определяются необходимые для расчета величины.

П.2.2. Расчет напряжений изгиба производится (приложение I) используя высотные отметки, снятые с поперечного профиля подводного перехода нефтепровода, и шаг их замера.

П.2.3. Определение суммарных продольных осевых напряжений от расчетных нагрузок и воздействий с учетом упругопластичной работы металла труб (σ_{pr}'') по формуле 8, при этом σ_{usg}'' , рассчитанное на подводном переходе (по данному профилю), выбирается максимальным, расчет выполняется так, чтобы σ_{pr}'' была величиной максимальной.

П.2.4. Проверка подводных трубопроводов на деформации по формуле 5.

П.2.5. Построение графиков зависимости продольных напряжений $\sigma_{pr}''(\rho)$ и допустимых напряжений $[\sigma]_{\phi}$, по графику определяется предельно допустимое давление в подводном эксплуатируемом нефтепроводе.

Использование таблиц на практике.

П.2.6. По приложенным программам на ЭВМ "Найри-2" или ЕС-1020 вычисляются напряжения изгиба σ_{usg}'' .

П.2.7. Зная диаметр трубопровода, толщину стенки, материал трубы, категорию участка, выбирается колонка в таблице, соответствующая определяемому диаметру нефтепровода, по полученной вели-

чина напряжений изгиба определяется предельно допустимое давление в подводном трубопроводе, при котором возможна его эксплуатация.

Таблицы

допустимых величин внутреннего давления и напряжений изгиба на
подводных переходах нефтепроводов Западной Сибири
диаметр 529 мм

Таблица 1

Внутреннее давление нефти P , МПа	Напряжения изгиба в переходе σ_m (МПа) при толщине стенки трубы S (мм), пределе текучести R_s^H (МПа), марке стали и категории участков В, I, II											
	$\delta=8, R_s^H=350$		$\delta=8, R_s^H=360$		$\delta=8, R_s^H=330$		$\delta=9, R_s^H=350$		$\delta=9, R_s^H=360$		$\delta=9, R_s^H=330$	
	АХГС	10Г2С1	17Г2СФ	14ХГС	10Г2С1	17Г2СФ	В	I, II	В	I, II	В	I, II
1	2	3	4	5	6	7	8	9	10	11	12	13
0,1	126,0	196,0	132,5	204,5	113,0	179,0	126,1	196,1	132,6	204,6	113,1	179,1
0,2	125,3	195,4	131,8	203,9	112,3	178,4	125,5	195,5	132,0	204,0	112,5	178,5
0,3	124,6	194,7	131,1	203,2	111,6	177,6	124,9	194,9	131,4	203,4	111,9	177,9
0,4	123,9	193,9	130,4	202,4	110,8	176,9	124,2	194,3	130,7	202,8	111,2	177,3
0,5	123,1	193,2	129,6	201,7	110,0	176,1	123,5	193,6	130,0	202,1	108,9	176,6
0,6	122,2	192,4	128,8	200,9	109,2	175,4	122,8	192,9	129,3	201,4	109,8	175,9
0,7	121,4	191,6	127,9	200,1	108,3	174,5	122,1	192,2	128,6	200,9	109,0	175,2
0,8	120,5	190,7	127,0	199,3	107,4	173,7	121,3	191,5	127,8	200,0	108,2	174,5
0,9	119,5	189,9	126,1	198,4	106,5	172,8	120,5	190,8	127,0	199,3	107,4	173,7
1,0	118,6	189,0	125,1	197,5	105,5	171,9	119,7	190,0	126,2	198,5	106,6	172,9
1,1	117,6	188,1	124,1	196,6	104,5	171,0	118,8	189,2	125,4	197,0	105,7	172,1
1,2	116,5	187,1	123,1	195,7	103,4	170,0	118,0	188,4	124,5	197,0	104,8	171,3

Продолжение таблицы 1

1	2	3	4	5	6	7	8	9	10	11	12	13
1,3	115,5	186,2	122,1	194,9	102,3	169,0	117,1	187,6	123,6	196,1	103,9	170,5
1,4	114,4	183,2	121,0	193,7	101,2	168,0	116,1	186,7	122,7	195,3	103,0	169,6
1,5	113,2	184,1	119,8	192,7	100,0	167,0	115,2	185,9	121,8	194,4	102,0	168,7
1,6	112,1	183,1	118,7	191,7	98,8	165,9	114,2	185,0	120,8	193,6	101,0	167,8
1,7	110,8	182,0	117,5	190,6	97,5	164,8	113,2	184,1	119,8	192,7	99,9	166,9
1,8	109,6	180,9	116,3	189,5	96,2	163,7	112,1	183,2	118,8	191,8	98,9	156,0
1,9	108,3	179,8	115,0	188,4	94,9	162,5	111,1	182,2	117,7	190,8	97,8	165,0
2,0	107,0	178,6	113,7	187,3	93,6	161,3	110,0	181,2	116,6	189,9	96,6	164,0
2,1	105,6	177,5	112,3	186,1	92,2	160,1	108,8	180,3	115,5	188,9	95,5	163,0
2,2	104,2	176,2	111,0	184,9	90,7	158,9	107,7	179,2	114,4	187,9	94,3	161,9
2,3	102,8	175,0	109,6	183,7	89,2	157,6	106,5	178,2	113,2	186,9	93,0	160,9
2,4	101,3	173,7	108,1	182,5	87,7	156,3	105,3	177,2	112,0	185,8	91,8	159,8
2,5	99,8	172,5	106,6	181,2	86,1	154,9	102,4	176,1	110,8	184,8	90,5	158,7
2,6	98,3	171,1	105,1	179,9	84,5	153,6	102,8	175,0	109,5	183,7	89,2	157,6
2,7	96,7	169,8	103,5	178,6	82,9	152,2	101,5	173,9	108,3	182,6	87,8	156,4
2,8	95,0	168,4	101,9	177,2	81,2	150,7	100,1	172,7	106,9	181,5	86,5	155,2
2,9	93,4	167,0	100,3	175,8	79,4	149,3	98,8	171,6	105,6	180,3	85,0	154,0
3,0	91,7	165,6	98,6	174,4	77,6	147,8	97,4	170,4	104,2	179,1	83,6	152,8
3,1	89,9	164,1	96,9	173,0	75,8	146,3	95,9	169,2	102,8	177,9	82,1	151,5
3,2	88,1	162,6	95,1	171,5	73,9	144,7	94,5	167,9	101,4	176,7	80,6	150,3
3,3	86,3	161,1	93,3	170,0	72,0	143,1	93,0	166,7	99,9	175,5	79,0	149,0
3,4	84,4	159,5	91,5	168,5	70,0	141,5	91,5	165,4	98,4	174,3	77,4	147,6
3,5	82,4	157,9	89,6	166,9	68,0	139,9	89,9	164,1	96,9	173,0	75,8	146,3
3,6	80,5	156,3	87,7	165,3	65,9	138,2	88,3	162,8	95,4	171,7	74,1	144,9
3,7	78,4	154,7	85,7	163,7	63,8	136,5	86,7	161,4	93,8	170,4	72,4	143,5
3,8	76,4	153,0	83,7	162,1	61,6	134,7	85,1	160,1	92,2	169,0	70,7	142,1

Продолжение таблицы 1

1	2	3	4	5	6	7	8	9	10	11	12	13
39	743	1513	816	1609	593	1329	834	1587	905	1676	689	1407
40	721	1405	785	1587	570	1311	816	1573	888	1663	671	1392
41	699	1478	773	1569	547	1293	799	1558	871	1648	653	1377
42	676	1460	751	1552	523	1274	781	1544	853	1634	634	1362
43	653	1441	729	1534	498	1254	762	1529	835	1619	614	1345
44	629	1422	706	1515	473	1235	743	1513	817	1605	594	1330
45	604	1403	682	1497	447	1215	724	1498	798	1589	574	1314
46	580	1384	658	1478	420	1194	705	1482	779	1574	553	1298
47	554	1364	633	1458	393	1173	685	1467	760	1569	532	1281
48	528	1344	607	1439	365	1152	664	1450	740	1543	511	1264
49	501	1323	582	1419	336	1131	644	1434	720	1527	488	1247
50	474	1303	555	1398	306	1109	622	1417	699	1510	466	1229
51	445	1281	528	1378	276	1086	601	1400	678	1494	443	1212
52	417	1260	500	1356	245	1063	579	1383	657	1477	419	1193
53	387	1238	471	1335	213	1040	556	1365	635	1460	395	1175
54	357	1215	442	1313	180	1016	533	1348	612	1442	354	1156
55	325	1192	412	1291	145	992	509	1330	589	1425	345	1137
56	293	1169	381	1268	110	967	485	1313	566	1407	319	1118
57	261	1145	350	1245	74	942	460	1293	542	1389	292	1093
58	227	1121	318	1222	37	917	435	1274	518	1370	265	1078
59	192	1097	294	1198		890	410	1254	493	1351	237	1058
60	156	1072	250	1174		864	383	1235	468	1332	209	1037
61	120	1047	215	1149		837	356	1215	442	1313	179	1016
62	82	1021	179	1124		809	329	1195	415	1293	149	995
63	42	995	142	1099		781	301	1174	388	1273	118	973
64	07	967	104	1073		752	272	1153	361	1253	96	951

93

Диаметр 720 мм

Таблица 2

Внутреннее давление нефти P , МПа	Напряжения изгиба в переходе δ_m (МПа) при толщине стенки трубы δ (мм), пределе текучести R_2^H (МПа), марке стали и категории участков В, I, II									
	$\delta=9$ 17Г1С	$\delta=10$ 17Г1С	$\delta=10,5$ 14ХГС	$\delta=11$ 14ХГС	$\delta=11,5$ 17Г1С	$\delta=9$ I, II	$\delta=10$ I, II	$\delta=10,5$ I, II	$\delta=11$ I, II	$\delta=11,5$ I, II
1	2	3	4	5	6	7	8	9	10	11
0,1	1324	204,4	1325	2045	126,0	196,0	126,0	196,0	132,6	204,6
0,2	131,5	203,6	131,7	203,7	125,3	195,3	125,4	195,1	131,9	203,9
0,3	130,6	202,7	130,9	203,0	124,5	194,6	124,6	194,7	131,2	203,3
0,4	129,7	201,8	130,1	202,2	123,7	193,8	123,9	194,0	130,5	202,6
0,5	128,7	200,8	129,2	201,3	122,9	193,0	123,1	193,2	129,8	201,9
0,6	127,6	199,8	128,3	200,5	122,0	192,2	122,3	192,4	129,0	201,2
0,7	126,5	198,8	127,3	199,6	121,1	191,3	121,4	191,6	128,2	200,4
0,8	125,4	197,8	126,3	198,6	120,2	190,5	120,6	190,8	127,4	199,6
0,9	124,2	196,7	125,3	197,7	119,2	189,6	119,6	190,0	126,5	198,8
1,0	123,9	195,5	124,2	196,7	118,2	188,6	118,7	189,1	125,7	198,0
1,1	123,6	194,4	123,1	195,7	117,2	187,7	117,7	188,2	124,7	197,2
1,2	123,3	193,1	122,0	194,6	116,1	186,7	116,7	187,2	123,8	196,3

Продолжение таблицы 2

63

1	2	3	4	5	6	7	8	9	10	11
33	1189	1919	1208	1935	1149	1857	1156	1865	1228	1954
34	1174	1906	1195	1924	1130	1846	1145	1853	1218	1945
35	1159	1893	1182	1913	1126	1835	1134	1843	1208	1936
36	1144	1879	1169	1901	1113	1824	1123	1833	1197	1926
37	1128	1865	1156	1889	1100	1813	1111	1822	1186	1916
38	1113	1851	1145	1877	1089	1802	1098	1811	1175	1906
39	1094	1836	1127	1864	1074	1790	1086	1800	1163	1896
40	1076	1820	1112	1851	1060	1777	1073	1789	1153	1885
41	1058	1805	1097	1838	1045	1765	1059	1777	1139	1875
42	1039	1789	1081	1824	1030	1752	1046	1765	1126	1864
43	1020	1772	1065	1810	1015	1739	1031	1753	1113	1852
44	1000	1755	1032	1796	999	1726	1017	1741	1100	1841
45	979	1738	1031	1782	983	1712	1002	1723	1087	1829
46	958	1720	1013	1767	967	1698	987	1715	1073	1817
47	936	1702	995	1751	950	1684	971	1702	1058	1805
48	914	1684	977	1736	933	1669	955	1688	1028	1793
49	891	1665	958	1720	915	1654	939	1674	1029	1780
50	867	1645	938	1709	896	1639	906	1650	1014	1767
51	843	1625	918	1687	873	1623	905	1646	998	1754
52	818	1605	897	1670	859	1609	887	1631	982	1740
53	792	1584	876	1653	839	1591	869	1618	966	1727
54	766	1563	855	1635	819	1575	851	1601	949	1713
55	738	1541	833	1617	798	1558	832	1585	932	1699
56	710	1519	810	1599	777	1540	812	1569	915	1684
57	682	1497	787	1580	755	1523	792	1553	897	1670
58	652	1473	763	1561	733	1505	772	1537	878	1655

Продолжение таблицы 2

1	2	3	4	5	6	7	8	9	10	11
39	622	1450	738	1541	710	1487	751	1520	860	1633
40	591	1426	713	1521	687	1468	730	1503	841	1624
41	558	1401	688	1501	663	1449	708	1485	821	1608
42	525	1376	661	1481	638	1430	686	1467	802	1592
43	491	1350	634	1459	613	1410	663	1449	781	1576
44	456	1324	607	1438	589	1390	640	1434	760	1559
45	420	1297	578	1416	561	1370	616	1412	739	1542
46	383	1269	549	1394	534	1349	592	1393	718	1525
47	345	1241	519	1371	507	1328	567	1374	696	1507
48	305	1213	489	1348	478	1306	541	1354	673	1490
49	264	1184	457	1324	449	1264	515	1334	650	1472
50	222	1154	425	1300	419	1262	488	1313	628	1453
51	178	1123	392	1276	389	1239	461	1293	607	1435
52	133	1092	357	1251	357	1216	432	1271	577	1416
53	86	1060	322	1225	325	1182	403	1250	552	1396
54	37	1028	286	1199	292	1168	374	1228	527	1377
55		995	249	1173	257	1143	343	1206	509	1357
56		961	215	1146	222	1118	319	1183	473	1336
57		926	171	1119	186	1083	280	1160	446	1316
58		890	130	1091	149	1067	247	1136	418	1285
59		854	87	1062	110	1049	214	1112	389	1274
60		817	44	1033	70	1013	179	1088	359	1252
61		779		1003	29	985	143	1063	329	1230
62		740		973		958	126	1037	298	1208
63		700		942		919	68	1012	266	1185
64		659		910		900	29	985	233	1162

Диаметр 820 мм

Таблица 3

Внешнее давление нефти P , МПа	Напряжения изгиба в переходе σ_m (МПа) при толщине стенки трубы δ (мм), пределе текучести R_2^H (МПа), марке стали и категории участков В, I, II									
	$\delta=10 \quad R_2^H=360$		$\delta=10 \quad R_2^H=330$		$\delta=11 \quad R_2^H=330$		$\delta=11 \quad R_2^H=360$		$\delta=12 \quad R_2^H=360$	
	17Г1С		17Г2СФ		17Г2СФ		17ГС1		17ГС1	
B	I, II	B	I, II	B	I, II	B	I, II	B	I, II	
1	2	3	4	5	6	7	8	9	10	11
0,1	1324	2044	1130	1703	1129	1790	1324	2045	132,5	204,5
0,2	1315	2035	1120	1780	1122	1782	1317	203,7	131,8	203,8
0,3	1306	2026	1110	1771	1113	1774	1308	2029	131,8	203,1
0,4	1296	2017	1100	1762	1104	1765	1300	2020	130,3	202,3
0,5	1286	2007	1090	1752	1095	1756	1290	2012	129,9	201,5
0,6	1275	199,7	1079	1741	1085	1747	1281	2003	128,6	200,7
0,7	1263	198,6	106,7	1730	1075	1738	1271	199,3	127,7	199,9
0,8	1251	197,5	105,5	1719	106,9	1728	1260	198,4	126,8	199,0
0,9	1239	196,4	104,2	1708	105,3	1717	1250	197,1	125,8	198,1
1,0	1226	195,2	102,9	1695	104,1	1707	1239	196,5	124,8	197,2
1,1	121,3	194,0	101,5	1683	102,9	1696	1226	195,3	123,8	196,3
1,2	119,8	192,8	100,0	1670	101,7	1684	1214	194,2	122,7	195,3

Продолжение таблицы 3

83

1	2	3	4	5	6	7	8	9	10	11
13	118,4	1915	985	163,7	100,3	167,3	120,2	1930	1256	194,3
14	1169	1901	969	164,3	990	166,1	1189	1949	1204	1933
15	1154	1888	953	1628	976	1632	1175	1907	1192	1922
16	1137	1873	936	1614	961	1635	1161	1894	1180	1913
17	1129	1859	919	1598	946	1622	1147	1882	1168	1900
18	1103	1844	900	1583	930	1603	1132	1869	1155	1889
19	1085	1828	883	1567	914	1595	1117	1855	1141	1873
20	1067	1812	862	1550	898	1584	1103	1842	1128	1865
21	1049	1796	842	1533	881	1566	1085	1828	1114	1853
22	1031	1780	821	1515	863	1551	1068	1813	1099	1840
23	1003	1762	799	1497	845	1535	1051	1799	1084	1827
24	98,7	1745	777	1479	826	1520	1033	1784	1069	1814
25	966	1727	754	1460	807	1503	1015	1768	1053	1801
26	944	1708	731	1440	787	1487	996	1752	1037	1787
27	923	1689	706	1420	766	1470	977	1736	1021	1773
28	897	1670	681	1390	745	1452	957	1720	1004	1759
29	873	1650	655	1379	724	1435	937	1703	986	1744
30	849	1630	628	1357	703	1416	916	1686	969	1729
31	825	1609	601	1335	680	1398	895	1668	950	1714
32	797	1586	572	1313	655	1378	873	1650	932	1693
33	769	1566	543	1289	630	1359	850	1632	912	1683
34	742	1545	513	1266	605	1339	827	1613	893	1666
35	713	1521	485	1241	580	1319	804	1594	873	1650
36	684	1498	449	1211	553	1298	781	1574	852	1633
37	654	1475	416	1181	526	1276	754	1554	831	1616
38	623	1450	382	1155	498	1255	729	1534	810	1599

Продолжение таблицы 3

1	2	3	4	5	6	7	8	9	10	11
39	593	1426	346	1138	470	1232	703	1513	78,8	158,1
40	558	1400	309	1111	440	1210	676	1492	76,5	156,3
41	524	1374	271	1083	410	1186	648	1470	74,2	154,4
42	489	1348	232	1058	379	1163	620	1440	71,8	152,6
43	453	1321	191	1025	346	1138	591	1426	69,8	150,6
44	415	1293	149	995	313	1117	561	1403	66,9	148,7
45	377	1265	105	969	279	1088	539	1399	64,4	146,7
46	338	1236	60	932	243	1062	499	1356	61,8	144,7
47	297	1207	12	900	207	1036	466	1331	59,1	142,6
48	254	1177		867	169	1009	433	1306	56,9	140,5
49	21,1	1146		833	130	981	399	1281	53,6	138,4
50	16,5	1115		798	90	953	364	1255	50,8	136,2
51	11,8	1082		763	48	924	328	1229	47,8	134,0
52	7,0	1050		726	05	895	290	1202	44,8	131,8
53	1,9	1016		689		865	252	117,5	41,7	129,5
54	982			650		834	212	114,7	38,6	127,2
55	946			611		803	171	1119	35,3	124,8
56	910			570		771	129	1089	32,0	122,4
57	874			528		730	85	1060	28,6	119,9
58	836			485		704	40	1030	25,0	117,4
59	797			443		669		99,9	21,4	114,8
60	758			396		634		96,7	17,7	112,2
61	717			349		598		93,5	13,8	109,6
62	676			300		561		90,2	9,9	106,9
63	633			250		523		86,9	5,8	104,2
64	589			198		484		83,5	1,5	101,4

Диаметр 1020 мм

Таблица 4

Внутренний радиус, R_2'' , мм	Напряжение изгиба δ в переходе δ_m (МПа) при толщине стенки трубы δ (мм), пределе текучести R_2'' (МПа), марке стали и категории участков B, I, II													
	$\delta=12 R_2''=360$ 17Г1С		$\delta=12,5 R_2''=360$ 17Г1С		$\delta=12,5 R_2''=350$ 14ХГС		$\delta=12,5 R_2''=400$ 14Г2САФ.		$\delta=14 R_2''=360$ 17Г1С		$\delta=16 R_2''=400$ ФРГ		$\delta=16 R_2''=390$ импорт	
	B	I, II	B	I, II	B	I, II	B	I, II	B	I, II	B	I, II	B	I, II
1	2	3	4	5	6	7	8	9	10	11	12	13	14	15
0,1	1323	2043	1324	2044	1259	1959	1584	2383	1325	2045	1586	2386	1521	2301
0,2	1314	2035	1315	2035	1250	1950	1575	2375	1317	2037	1579	2379	1514	2299
0,3	1305	2025	1306	2026	1241	1941	1566	2366	1309	2029	1572	2372	1507	2287
0,4	1294	2015	1246	2017	1231	1932	1556	2357	1300	2021	1565	2366	1500	2281
0,5	1284	2005	1286	2007	1221	1922	1546	2348	1291	2013	1558	2358	1493	2273
0,6	1272	1995	1275	1997	1210	1912	1536	2338	1282	2004	1550	2351	1485	2266
0,7	1260	1983	1264	1987	1198	1904	1525	2328	1272	1995	1542	2344	1477	2258
0,8	1248	1972	1252	1976	1186	1890	1514	2317	1262	1985	1534	2336	1469	2261
0,9	1235	1960	1240	1965	1174	1879	1502	2306	1252	1976	1525	2328	1460	2243
1,0	1221	1947	1227	1953	1163	1867	1489	2295	1241	1966	1516	2320	1453	2234
1,1	1207	1935	1213	1941	1148	1855	1477	2285	1230	1955	1507	2311	1442	2226
1,2	1192	1922	1200	1928	1139	1843	1463	2274	1218	1945	1498	2303	1432	2217

Продолжение таблицы 4

1	2	3	4	5	6	7	8	9	10	11	12	13	14	15
13	117,7	190,8	118,5	191,5	116,9	183,0	145,0	225,9	180,6	193,4	148,8	229,8	142,3	224,8
14	116,1	189,4	117,0	190,2	110,4	181,6	143,5	224,6	119,3	192,2	147,8	228,5	144,3	219,9
15	114,4	186,0	115,5	188,9	108,0	180,2	142,1	223,3	118,0	191,3	146,8	227,0	140,2	217,1
16	112,7	186,5	113,9	187,4	107,2	178,8	140,5	222,0	116,6	189,9	145,9	226,6	139,2	216,0
17	111,0	184,9	112,2	186,0	105,5	177,3	139,0	220,6	115,3	188,7	144,7	225,6	138,1	217,1
18	109,1	183,3	110,5	184,5	103,7	175,8	137,4	219,2	113,8	187,4	143,6	224,7	137,0	216,1
19	107,2	181,7	108,7	183,0	101,9	174,3	135,7	217,7	112,4	186,3	142,5	223,6	135,8	215,0
20	105,3	180,0	106,9	181,4	100,1	172,7	134,0	216,2	110,8	184,8	141,3	222,6	134,6	214,0
21	103,3	178,3	105,0	179,8	98,2	171,0	132,2	214,7	109,3	183,5	140,3	221,6	133,4	212,9
22	101,2	176,5	103,1	178,1	96,2	169,4	130,4	213,1	107,7	182,1	138,9	220,5	132,2	211,8
23	99,0	174,7	101,0	176,4	94,1	167,6	128,5	211,5	106,0	180,6	137,6	219,4	130,9	210,7
24	96,8	172,9	99,0	174,7	92,0	165,9	126,6	209,9	104,3	179,2	136,5	218,3	129,6	209,6
25	94,5	171,0	96,9	172,9	89,8	164,0	124,6	208,2	102,6	177,7	135,0	217,1	128,3	208,4
26	92,1	169,0	94,7	171,1	87,6	162,2	122,6	206,5	100,8	176,2	133,7	216,0	126,9	207,3
27	89,7	167,0	92,9	169,2	85,3	160,3	120,5	204,7	98,9	174,6	132,3	214,8	125,6	206,1
28	87,2	164,9	90,1	167,3	82,9	158,3	118,3	202,9	97,0	173,0	130,9	213,6	124,1	204,8
29	84,6	162,8	87,7	165,3	80,5	156,3	116,1	201,1	95,1	171,4	129,5	212,3	122,6	203,6
30	82,0	160,7	85,2	163,3	78,0	154,3	113,9	199,2	93,1	169,8	128,0	211,1	121,1	202,3
31	79,2	158,5	82,7	161,3	75,4	152,2	111,5	197,3	91,6	168,1	126,5	209,8	119,6	201,0
32	76,4	156,2	80,3	159,2	72,7	150,9	109,2	195,3	89,9	166,3	125,0	203,5	118,1	199,7
33	73,5	153,9	77,4	157,0	70,0	149,8	106,7	193,3	86,8	164,6	123,4	202,2	116,5	198,4
34	70,5	151,5	74,9	154,8	67,1	145,6	104,2	191,3	84,6	162,8	121,8	205,8	114,8	197,0
35	67,5	149,1	71,8	152,6	64,2	143,3	101,7	189,2	82,3	160,9	120,2	204,4	113,2	195,6
36	64,3	146,6	68,9	150,3	61,2	140,9	99,0	187,1	80,7	159,1	118,5	203,1	111,5	194,2
37	61,0	144,1	65,9	147,9	58,1	138,5	96,3	184,9	77,6	157,1	116,8	201,6	109,7	192,7
38	57,7	141,5	62,9	145,5	55,0	136,1	93,5	182,7	75,2	155,2	115,1	200,2	108,0	191,3

Продолжение таблицы 4

20

1	2	3	4	5	6	7	8	9	10	11	12	13	14	15
39	542	1389	597	1420	517	1355	907	1634	727	1532	1135	1989	1052	1893
40	434	1361	564	1415	483	1310	878	1781	701	1512	1115	1932	1043	1883
41	461	1333	539	1380	448	1285	648	1753	625	1493	1036	1957	1024	1867
42	431	1305	496	1344	413	1257	817	1734	649	1410	1078	1942	1005	1852
43	392	1276	369	1327	376	1229	786	1710	620	1448	1058	1926	986	1836
44	352	1246	424	1299	537	1201	754	1685	591	1926	1039	1910	966	1819
45	310	1216	386	1272	298	1172	720	1639	552	1404	1059	1693	995	1853
46	266	1185	347	1243	257	1143	686	1633	532	1385	999	1878	925	1786
47	214	1153	305	1214	215	1113	651	1607	502	1358	978	1861	903	1769
48	173	1121	265	1184	171	1082	616	1580	479	1334	957	1844	882	1752
49	126	1089	222	1154	126	1051	539	1553	438	1310	935	1827	860	1734
50	76	1054	177	1127	79	1049	531	1525	405	1285	913	1809	837	1717
51	23	1019	137	1041	30	986	502	1496	370	1269	891	1792	814	1699
52	183	87	1048		453		462	1463	335	1235	868	1774	791	1680
53	947	32	1025		913		420	1433	299	1209	845	1755	767	1661
54	410		943		883		378	1407	262	1182	821	1737	742	1543
55	421		936		877		334	1377	223	1155	796	1718	717	1623
56	132		921		810		280	1345	184	1127	722	1693	692	1604
57	792		884		772		241	1313	143	1099	746	1679	566	1584
58	751		817		733		193	1280	100	1070	721	1660	639	1564
59	708		839		694		142	1247	57	1043	694	1639	612	1543
60	665		770		653		99	1213	13	1011	667	1619	584	1522
61	630		730		619		36	1178		981	640	1599	556	1501
62	575		699		568			1593		949	612	1579	527	1482
63	527		646		524			1107		913	583	1556	497	1458
64	479		603		479			1070		885	554	1535	467	1435

Диаметр 1220 мм

Таблица 5

Внутреннее давление нефти P , МПа	Напряжения шейба в переходе δ_m (МПа) при толщине стенки трубы δ (мм), пределе текучести R_z^H (МПа), марке стали и категории участков B, I, II											
	$\delta = 12,5 \quad R_z^H = 420$		$\delta = 14,5 \quad R_z^H = 360$		$\delta = 15 \quad R_z^H = 400$		$\delta = 15,2 \quad R_z^H = 360$		$\delta = 16,8 \quad R_z^H = 360$		$\delta = 16,8 \quad R_z^H = 400$	
	ФРГ	17Г1С	ФРГ	17Г1С	ФРГ	17Г1С	ФРГ	17Г1С	ФРГ	17Г1С	ФРГ	17Г1С
1	2	3	4	5	6	7	8	9	10	11	12	13
0,1	1582	2382	1212	1898	1460	2222	1262	1898	1213	1899	1461	2223
0,2	1572	2372	1203	1899	1451	2213	1204	1890	1206	1891	1453	2215
0,3	1560	2361	1193	1880	1442	2205	1195	1881	1197	1884	1445	2208
0,4	1548	2350	1183	1870	1433	2195	1185	1872	1189	1875	1437	2199
0,5	1536	2338	1172	1860	1423	2186	1175	1862	1180	1867	1428	2191
0,6	1523	2326	1161	1849	1412	2176	1164	1852	1171	1856	1419	2182
0,7	1509	2313	1149	1838	1403	2166	1153	1842	1161	1849	1409	2174
0,8	1494	2299	1137	1827	1389	2155	1141	1831	1151	1839	1408	2164
0,9	1479	2285	1123	1815	1377	2144	1129	1820	1140	1830	1383	2155
1,0	1463	2271	1110	1802	1365	2132	1116	1808	1129	1820	1379	2145
1,1	1447	2256	1096	1789	1352	2121	1103	1796	1117	1809	1368	2135
1,2	1439	2241	1081	1776	1338	2108	1089	1784	1105	1798	1356	2124

Продолжение таблицы 5

1	2	3	4	5	6	7	8	9	10	11	12	13
1,3	141,1	222,5	106,5	176,3	132,4	209,6	102,5	177,1	109,3	178,7	134,4	211,1
14	139,3	220,0	104,9	174,8	131,0	208,3	106,0	175,8	108,0	177,6	132,2	210,3
15	137,3	219,1	103,3	173,4	129,5	207,0	104,4	174,4	106,7	176,4	131,9	209,1
16	135,3	217,4	101,5	171,9	127,9	205,6	102,8	173,0	105,3	175,2	130,6	208,0
17	133,2	215,6	99,7	170,3	126,3	204,2	101,2	171,6	103,9	173,9	129,3	206,8
18	131,1	213,7	97,9	168,7	124,7	202,8	99,5	170,1	102,4	172,7	127,9	205,6
19	129,3	211,8	96,0	167,1	123,0	201,3	97,7	168,6	100,9	171,4	126,5	204,3
20	126,5	209,3	94,0	165,4	121,2	199,0	95,8	167,0	99,4	170,0	125,0	203,1
21	124,2	207,8	91,9	163,6	119,4	198,2	93,9	165,4	97,8	168,6	123,5	201,7
22	121,7	205,7	89,8	161,9	117,5	196,6	92,0	163,7	96,1	167,2	122,0	200,4
23	119,1	203,6	87,6	160,0	115,6	195,0	90,0	162,0	94,4	165,8	120,4	199,0
24	116,5	201,4	85,3	158,1	113,6	193,3	87,9	160,3	92,7	164,3	118,7	197,6
25	113,8	199,2	83,0	156,2	111,6	191,6	85,8	158,5	90,9	162,8	117,1	196,2
26	111,0	196,9	80,6	154,2	109,5	189,8	83,5	156,6	89,0	161,2	115,3	194,7
27	108,1	194,5	78,1	152,2	107,4	188,0	81,3	154,8	87,1	153,5	113,6	193,2
28	105,2	192,1	75,6	150,1	105,2	186,2	78,9	152,8	85,2	158,9	111,8	191,7
29	102,3	189,6	72,9	147,9	102,9	184,3	76,5	150,9	83,2	156,3	109,9	190,1
30	98,9	187,2	70,2	145,7	100,5	182,4	74,0	148,8	81,1	154,6	108,0	188,6
31	95,7	184,4	67,4	143,5	98,2	180,4	71,5	146,8	79,0	152,3	106,1	186,9
32	92,3	181,7	64,5	141,2	95,7	178,4	68,8	144,7	76,8	151,1	104,1	185,3
33	88,9	179,0	61,5	138,8	93,2	176,3	66,1	142,5	74,6	149,3	102,0	183,6
34	85,5	176,2	58,5	136,4	90,6	174,2	63,3	140,3	72,3	147,4	99,9	181,6
35	81,6	173,3	55,3	134,0	87,9	172,1	60,5	138,0	70,0	145,5	97,8	180,1
36	77,8	170,4	52,0	131,4	85,2	169,9	57,5	135,7	67,5	143,6	95,6	178,3
37	73,9	167,4	48,7	128,8	82,3	167,7	54,5	133,3	65,1	141,6	93,3	176,5
38	69,9	164,3	45,2	126,2	79,5	165,4	51,3	130,9	62,5	139,6	91,0	174,6

Продолжение таблицы 5

1	2	3	4	5	6	7	8	9	10	11	12	13
39	65,7	161,1	416	123,5	76,5	163,0	48,1	128,4	59,9	137,6	88,7	172,7
40	61,4	157,9	329	120,7	73,5	160,7	44,8	125,9	57,2	135,5	86,2	170,8
41	57,0	154,5	340	117,8	70,3	158,2	41,3	123,3	54,5	133,3	83,8	168,8
42	52,4	154,2	303	114,9	69,1	155,8	37,8	120,6	51,7	131,1	81,2	166,8
43	47,6	147,8	260	111,9	63,8	153,2	34,2	117,9	48,8	128,9	78,7	164,7
44	42,9	144,2	21,7	108,9	60,4	150,7	30,4	115,2	45,8	126,8	76,0	162,7
45	37,6	140,6	17,3	105,8	56,9	148,0	26,5	112,3	42,7	124,3	73,3	160,5
46	32,2	136,9	12,7	102,6	53,3	145,3	22,5	109,4	39,6	121,9	70,5	158,4
47	26,7	133,1	8,0	99,3	49,7	142,6	18,3	106,5	36,3	119,5	67,6	156,2
48	21,0	128,2	3,0	96,0	45,8	139,8	14,0	103,4	33,0	117,1	64,7	153,9
49	15,0	125,2		92,5	41,9	136,9	9,5	100,3	29,6	114,6	65,7	151,6
50	8,3	121,1		89,0	37,9	134,0	4,8	97,2	26,0	112,0	58,7	149,5
51	2,2	112,0		85,4	33,7	131,3		93,9	22,4	109,4	55,5	147,0
52		112,7		81,9	29,4	128,0		90,5	18,6	106,7	52,3	144,6
53		108,3		77,9	25,0	124,9		87,2	14,7	104,0	49,0	142,1
54		103,8		74,0	20,9	121,8		83,7	10,7	101,2	45,6	139,6
55		99,1		70,0	15,6	118,5		80,2	6,6	98,4	42,1	137,1
56		94,4		65,9	10,7	115,2		76,5	2,3	95,5	38,5	134,5
57		89,5		61,7	5,5	111,9		72,8		92,5	34,8	131,8
58		84,5		57,4	0,2	108,9		69,0		89,5	30,0	129,2
59		79,3		53,0		104,9		65,0		86,4	27,1	126,4
60		74,0		48,4		101,3		61,0		83,2	23,1	123,6
61		68,6		43,7		97,7		56,9		80,0	19,0	120,8
62		62,9		38,8		93,9		52,6		76,7	14,7	117,9
63		57,1		33,8		90,5		48,3		73,4	10,3	115,0
64		51,1		28,6		86,2		43,8		69,9	5,7	112,0

СОДЕРЖАНИЕ

	Стр.
1. Общие положения	<u>3</u>
2. Нагрузки и напряжения в эксплуатируемом подводном нефтепроводе	<u>4</u>
3. Расчет предельно допустимого внутреннего давления	<u>7</u>
Литература	<u>10</u>
4. Приложение I. Программы для расчета напряжений изгиба в подводных трубопроводах	<u>11</u>
5. Приложение II. Определение предельно допустимого дав- ления в нефтепроводе на участках подвод- ных переходов	<u>29</u>

**М Е Т О Д И К А
РАСЧЕТА ПРЕДЕЛЬНО ДОПУСТИМЫХ ДАВЛЕНИЙ
В ПОДВОДНЫХ ПЕРЕХОДАХ ЭКСПЛУАТИРУЕМЫХ
НЕФТЕПРОВОДОВ**

РД 39-30-1090-84

**Издание ВНИИСПГнефть
450055, г. Уфа, просп. Октября, 144/3**

Редактор Л.В.Батурина

Технический редактор Л.А.Кучерова

**Подписано к печати 15.07.85 г. Д03488
Формат 60x90/16. Уч.-изд.л. 2,2. Тираж 200 экз.**

Заказ 154

Ротапринт ВНИИСПГнефть